Achados vídeo-angiográficos da síndrome de Vogt-Koyanagi-Harada utilizando o oftalmoscópio de varredura a laser

Video-angiographic findings of the Vogt-Koyanagi-Harada syndrome using the scanning laser ophthalmoscope

Mônica F. Cunha Monteiro (1,2)

RESUMO

Este estudo utilizou o oftalmoscópio de varredura a laser para realização de vídeo-angiofluoresceinogramas em pacientes com a síndrome de Vogt-Koyanagi-Harada. Através da natureza dinâmica e excelente resolução dos vídeo-angiogramas, foi possível observar minuciosamente os achados angiofluoresceinográficos, como também medir os tempos de enchimento coriocapilar macular, e de circulação retiniana arterial e venosa.

Comparado a um grupo controle, o grupo com a síndrome apresentou um atraso significativo (P=0,02) no tempo de enchimento coriocapilar macular. Este é um novo achado na síndrome de Vogt-Koyanagi-Harada.

Palavras-chave: Síndrome de Vogt-Koyanagi-Harada; Oftalmoscopia de varredura a laser; Tempo de enchimento coriocapilar macular.

INTRODUÇÃO

O oftalmoscópio de varredura a laser (OVL) emprega um novo princípio eletro-óptico para formar imagens do fundus de altíssima resolução, utilizando menos de 1/40.000 da iluminação necessária para angiofluoresceinografia convencional. Um raio laser focalizado varre a superfície da retina, e a luz proveniente de cada ponto retiniano é coletada por um fotomultiplicador. O rastro do raio é transmitido a um monitor de vídeo padrão, assim produzindo uma imagem ponto-porponto contínua, a qual pode também ser gravada 1-5.

O OVL apresenta inúmeras vantagens sobre sistemas oftalmoscópicos convencionais. A dinâmica do fluxo do corante através dos vasos retinianos e da coriocapilar é observada em tempo real ("real-time"). A observação contí-

nua de vítreo, interface vítreo-retiniana, retina e coróide, é possível através de imagens cinéticas, que podem também ser produzidas em estéreo ²⁻⁴.

A síndrome de Vogt-Koyanagi-Harada, (inicialmente descrita por Vogt em 1906, Harada em 1926, e Koyanagi em 1929), caracteriza-se por uveíte difusa granulomatosa bilateral, associada a manifestações dermatológicas típicas. Em São Paulo, segundo BELFORT et al 6, a incidência da síndrome é de 2,5% de todos os pacientes com uveítes; OHNO et al 7 citam uma incidência de 0,9% dos casos de uveítes em São Francisco, Califórnia, enquanto no Japão a incidência é de 8% dos casos de uveíte 8. A síndrome afeta mais frequentemente as raças mais pigmentadas, incluindo orientais, hispânicos, índios americanos e negros; usualmente ocorre entre 20 e 50 anos de idade, e afeta ambos os sexos, não tendo ainda sido claramente esta-

Endereço para correspondência: Dra. Mônica F. Cunha, S.Q.S. 114 - Bloco D - apt. 303, CEP: 70377-040, Brasília - DF.

⁽¹⁾ Fellow do Dept. de Retina, Doheny Eye Institute, University of Southern California (USC), Los Angeles,

Fellow do Dept. de Glaucoma, Doheny Eye Institute, USC. Los Angeles, CA.

belecida predominância quanto ao sexo.

Esta investigação, utilizando o oftalmoscópio de varredura a laser, tem como objetivos principais:

- realizar vídeo-angiofluoresceinogramas de pacientes com a síndrome de Vogt-Koyanagi-Harada e analisar suas características;
- medir e avaliar o tempo de enchimento coriocapilar macular, e os tempos de circulação retiniana arterial e venosa (precoce e tardia) nestes pacientes.

MATERIAIS E MÉTODOS

Foram estudados 12 vídeo-angiogramas de 12 pacientes com a síndrome de Vogt-Koyanagi-Harada. Todos os pacientes foram previamente submetidos a exames físico e ocular completos. O diagnóstico foi estabelecido na presença de pelo menos três dos seguintes critérios (na ausência de trauma ou cirurgia ocular prévios):

- 1) iridociclite bilateral;
- uveíte posterior, incluindo descolamento seroso de retina, ou "sunset glow fundus" (perda da pigmentação do fundus);
- envolvimento do SNC (cefaléia, meningismo, disacusia, tinnitus, ou pleocitose do LCR);
- 4) acometimento dermatológico (poliose, vitiligo, alopécia) 9.

Seis pacientes encontravam-se na fase aguda, e seis na fase crônica da doença. Idades variaram de 17 a 61 anos (média de 36 anos). Seis pacientes pertenciam ao sexo feminino e seis ao sexo masculino.

Vídeo-angiogramas foram realizados utilizando o SLO com o laser argônio azul (488 nm), e o corante fluoresceína. Características angiofluoresceinográficas foram analisadas. Além disso, os seguintes tempos 10-12 foram medidos:

 tempo de enchimento coriocapilar macular;

- 2) tempo de circulação arterial retiniana;
- 3) tempo de circulação venosa retiniana precoce;
- 4) tempo de circulação venosa retiniana tardia. Tempos individuais foram medidos contando-se quadro por quadro de cada vídeo-angiograma, e levando-se em consideração que o aparelho de vídeo-cassete utilizado demonstra 60 quadros por segundos.

Tempo de enchimento coriocapilar macular (TECM) corresponde ao período de tempo entre o princípio de enchimento coriocapilar na região macular, e o momento inicial em que o enchimento coriocapilar é notado em toda a região macular.

Tempo de circulação arterial retiniana (TCAR) corresponde ao período de tempo entre o aparecimento inicial de fluoresceína no disco óptico, e sua chegada nas artérias temporais a uma distância de 4 diâmetros de disco a partir do bordo do disco.

Tempo de circulação venosa retiniana precoce (TCVRP) corresponde ao período de tempo entre o aparecimento inicial de fluoresceína no disco, e a chegada inicial do fluxo laminar nas veias temporais superior e inferior, no bordo do disco.

Tempo de circulação venosa retiniana tardia (TCVRT) corresponde ao período de tempo entre o aparecimento inicial de fluoresceína no disco, e o enchimento completo das duas veias

temporais principais no disco.

Os resultados obtidos foram comparados aos de 14 vídeo-angiogramas de um grupo controle de 14 indivíduos de 18 a 60 anos de idade (média de 36 anos). Ausência de patologia sistêmica e ocular constituiu o critério de inclusão neste grupo. Todos os valores foram estatisticamente analisados segundo o "Student's T-test". O valor de $P \le 0,05$ foi considerado significativo.

RESULTADOS

Achados angiofluoresceinográficos típicos (Figura 1) foram observados nos 12 vídeo-angiogramas do grupo com a síndrome de Vogt-Koyanagi-Harada (VKH), conforme a seguinte distribuição (Tabela 1): áreas puntiformes de extravasamento de fluoresceína a nível de epitélio pigmentar da retina, na fase inicial, que gradualmente coalesciam em tamanho para formar áreas placóides na fase tardia, em

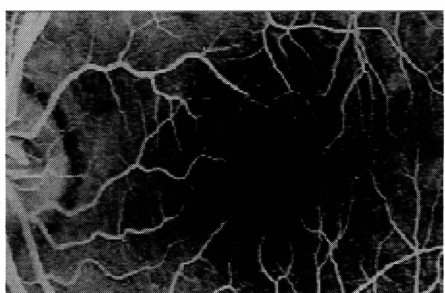


Figura 1 - Imagem de vídeo-angiofluoresceinograma de paciente com síndrome de Vogt-Koyanagi-

TABELA 1
Achados vídeo-angiofluoresceinográficos da síndrome de Vogt-Koyanagi-Harada.

Achados	N	%
Áreas puntiformes de hiperfluorescência e extravasamento	11	91,7
Hiperfluorescência e vazamento ("leakage") no disco óptico	10	83,3
Nódulos de Dalen-Fuchs	10	83,3
Descolamento seroso da retina, com "pooling" e "staining"	5	41,7

91,7%; hiperfluorescência do nervo óptico, com vazamento tardio, em 83,3%; nódulos de Dalen-Fuchs em 83,3%; "pooling" do corante sob o descolamento seroso de retina, e subseqüente "staining", em 41,7%.

O tempo médio de enchimento coriocapilar macular foi significativamente (P=0,02) mais longo no grupo com a síndrome (8,95 segs.), do que no grupo controle (1,87 segs.). O tempo médio de circulação arterial retiniana no grupo VKH (1,02 segs.) não diferiu significativamente (P=0,47) do grupo (C) controle (0,99 segs.), bem como os tempos médios de circulação venosa retiniana precoce (respectivamente 3,10 e 3,35 segs., P=0,39), e de circulação venosa retiniana tardia (respectivamente 6,89 e 7,08 segs., P=0,75) -Gráfico 1. Não foi notada influência de sexo ou idade sobre os valores obtidos. Não houve correlação entre o tempo de enchimento coriocapilar e a fase da doença.

DISCUSSÃO

O acometimento do segmento posterior na síndrome de VKH inclui:

- 1) resposta inflamatória marcante do vítreo;
- edema e hiperemia precoces do disco óptico;
- 3) descolamento seroso de retina;
- 4) "sunset glow fundus";
- 5) nódulos de Dalen-Fuchs na periferia retiniana, e
- 6) neovascularização da retina, da coróide, ou do disco óptico, como complicações tardias ¹³⁻¹⁵. Os vídeo-angiofluoresceinogramas realizados pelo oftalmoscópio de varredura a laser produziram imagens de excelente qualidade das alterações do fundus encontradas na síndrome de Vogt-Koyanagi-Harada. A elevada resolução e o caráter cinético das imagens permitiram observar claramente a profundidade e os contornos do descolamento seroso

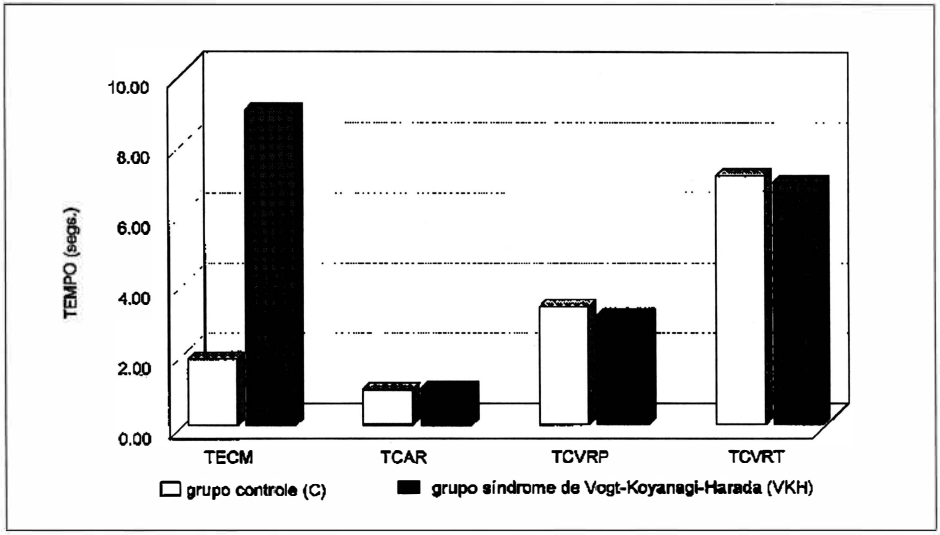


Gráfico 1: Valores médios dos tempos de: enchimento coriocapilar macular (TECM), circulação arterial retiniana (TCAR), circulação venosa retiniana precoce (TCVRP) e circulação venosa retiniana tardia (TCVRT), nos grupos controle (C) e de pacientes (VKH).

de retina, e o gradual "pooling" do corante sob o mesmo; observação dinâmica e contínua do vazamento em tempo real, tanto das áreas puntiformes como do disco óptico, foi possível. A circulação coriocapilar macular pôde ser minuciosamente estudada.

Devido à disponibilidade de gravação em fita de vídeo, o OVL permite revisão de todos os momentos do estudo angiofluoresceinográfico pelo médico, para melhor observação de detalhes. Também através da gravação, imagens individuais podem ser selecionadas e moduladas através de um computador. Desta forma, qualquer quadro do exame cinético pode ser obtido, aperfeiçoado e, se desejado, transposto em filme fotográfico. A espera de revelação de filme fotográfico para diagnóstico e tratamento torna-se desnecessária, ao contrário do que ocorre na angiofluoresceinografia convencional. Logo após a realização do exame, o paciente e seus familiares podem desfrutar da conveniência de assistir ao resultado no monitor, simultaneamente às observações e orientação do médico.

O OVL requer níveis luminosos de 70 μW/cm², enquanto a oftalmoscopia indireta requer 100.000 µW/cm², e a angiofluoresceinografia convencional 4.000.000 μW/cm² 1. Para realização do vídeo-angiofluoresceinograma, é necessário somente 0,9 mm de abertura pupilar do paciente para iluminação, e apenas um décimo da quantidade usual de corante. Consequentemente, o exame se torna bem mais confortável para o paciente. Outras proeminentes características do OVL incluem o uso de indocianina verde, microperimetria, teste de acuidade visual retiniana localizada, medida da sensibilidade ao contraste, eletrorretinografia, potencial visual evocado, e adaptação ao escuro 2,3.

O atraso no tempo de enchimento coriocapilar macular é um novo achado na síndrome de Vogt-Koyanagi-Harada. A patogênese da síndrome parece estar ligada à autoimunidade aos melanócitos ^{16, 17}. Histopatologicamente, esta doença freqüentemente apresenta obliteração da coriocapilar, contrariamente à oftalmia simpática, na qual classicamente a coriocapilar é poupada ^{9, 18}. Supõe-se, portanto, que o

Achados vídeo-angiográficos da síndrome de Vogt-Koyanagi-Harada utilizando o oftalmoscópio de varredura a laser

atraso no tempo de enchimento coriocapilar macular esteja associado a esta alteração da coriocapilar.

SUMMARY

This study utilized the scanning laser ophthalmoscope to perform video-fluoresceinangiograms in patients with the Vogt-Koyanagi-Harada syndrome. Through the dynamic nature and excellent image resolution of the video-angiograms, it was possible to observe the fluoresceinangiographic features in great detail, and also to measure macular choroidal capillary filling time, and retinal arterial and venous circulation times.

Compared to an age-matched control group, the group with the syndrome presented a significant delay (P=0.02) in macular choroidal capillary filling time. This is a new finding in the Vogt-Koyanagi-Harada syndrome.

REFERÊNCIAS BIBLIOGRÁFICAS

- DELORI, F. C.; PARKER, J. S.; MAINSTER, M. A. - Light levels in fundus photography. Vision Res., 20: 1099-1104, 1980.
- ELSNER, A. E. Scanning Laser Ophthalmoscopy, Tomography, and Visual Function Evaluation. Clin Vision Sci. 7: v-viii., 1992
- ELSNER, A. E.; WEITER, J. J.; JALKH, A. E. -New Devices for Retinal Imaging and Functional Evaluation. In: FREEMAN, W. R. - Practical Atlas of Retinal Disease and Therapy. New York: Raven Press Ltd.; 1993. p. 19-35.
- WEBB, R. H.; HUGHES, G. W. Scanning laser ophthalmoscope. *IEEE Trans Biomed Eng.* BME-28: 488-92, 1981.
- WEBB, R. H.; HUGHES, G. W.; POMERANT-ZEFF, O. - Flying spot TV ophthalmoscope. Appl Optics. 19: 2991-7, 1980.
- BELFORT R. Jr.; NISHI, M.; HAYASHI, S.; ABREU, M. T.; PETRILLI, A. M. N.; PLUT, R. C. A. - Vogt-Koyanagi-Harada's Disease in Brazil. Jpn. J. Ophthalmol., 22: 9-35, 1988.
- OHNO, S.; CHAR, D. H.; KIMURA, S. J.; O'CONNOR, R. G. - Vogt-Koyanagi-Harada syndrome. Am. J. Ophthalmol., 83: 735-740, 1977
- SUGIURA, S. Vogt-Koyanagi-Harada Disease. Jpn. J. Ophthalmol., 22: 9-35, 1978.
- RAO, N. A.; FORSTER, D. J.; SPALTON, D. J. -Vogt-Kayanagi-Harada Syndrome. In: RAO, N. A.; FORSTER, D. J.; AUGSBURGER, J. J. - The Uvea: Uveitis and Intraocular Neoplasms. London: Gower Medical Publishing; 1992. p. 8.13-8.17, .

- HAYREH, S. S. Segmental nature of the choroidal vasculature. B. J. Ophthalmol., 59: 631-649, 1975.
- HAYREH, S. S. Submacular Choroidal Vascular Pattern. Albretcht v Graefes klin exp Ophthalmol., 192: 181-196, 1974.
- RICHARD, G. Choroidal Circulation. New York: Thieme Medical Publishers Inc., 1992. p. 33-104.
- FRIEDMAN, A. H. Uveitis Affecting the Retina and Posterior Segment. In: FREEMAN, W. R. -Practical Atlas of Retinal Disease and Therapy. New York: Raven Press. Ltd., 1993. 59-61.
- MOORTHY, R. S.; CHONG, L. P.; SMITH, R. E.; RAO, N. A. Subretinal Neovascular Membranes in Vogt-Koyanagi-Harada Syndrome. Am. J. Ophthalmol. 116: 164-170, 1993
- NUSSENBLATT, R. B. & PALESTINE, A. G. -Vogt-Koyanagi-Harada syndrome. In: RYAN, S. J. Retina. St. Louis, C. V. Mosby, 1989. p. 723-734
- KAHN, M.; PEPOSE, J. S.; GREEN, W. R.; MILLER, J.; FOOS, R. Y. - Immunocytologic findings in a case of Vogt-Koyanagi-Harada syndrome. *Ophthalmology.*, 100: 1191-8, 1993.
- McCLELLAN, K. A.; MacDONALD, M.; HERSEY, P.; BILLSON, F. A. - Vogt-Koyanagi-Harada syndrome - isolation of cloned T cells with specificity for melanocytes and melanoma cells. Australian and New Zealand J. of Ophthalmol. 17: 347-52, 1989.
- SAKAMOTO, T.; MURATA, T.; INOMATA, H.

 Class II major histocompatibility complex on melanocytes of Vogt-Koyanagi-Harada disease. Arch. Ophthalmol. 109: 1270-4, 1991.